

Fig.1

10/516827

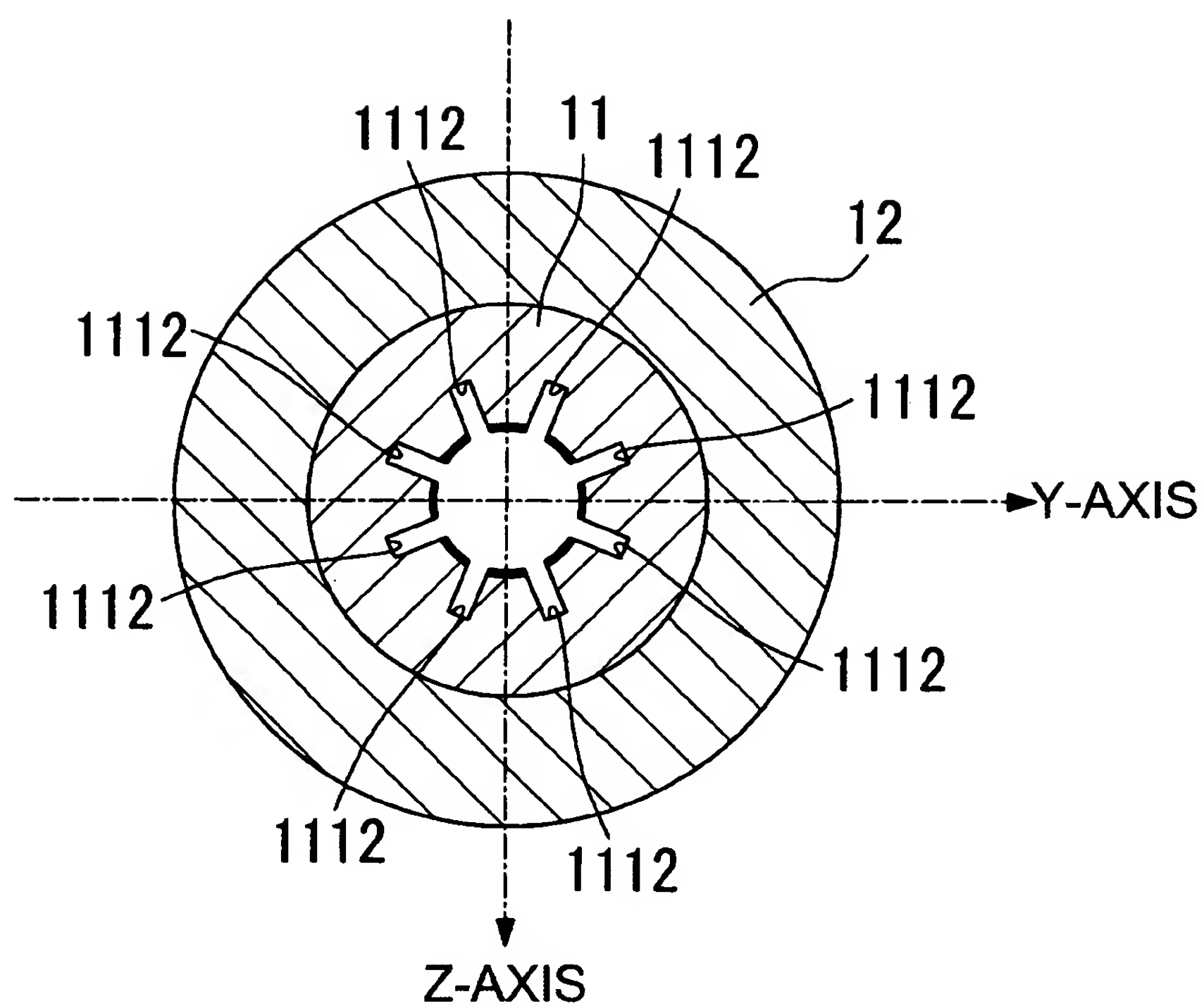


Fig.2

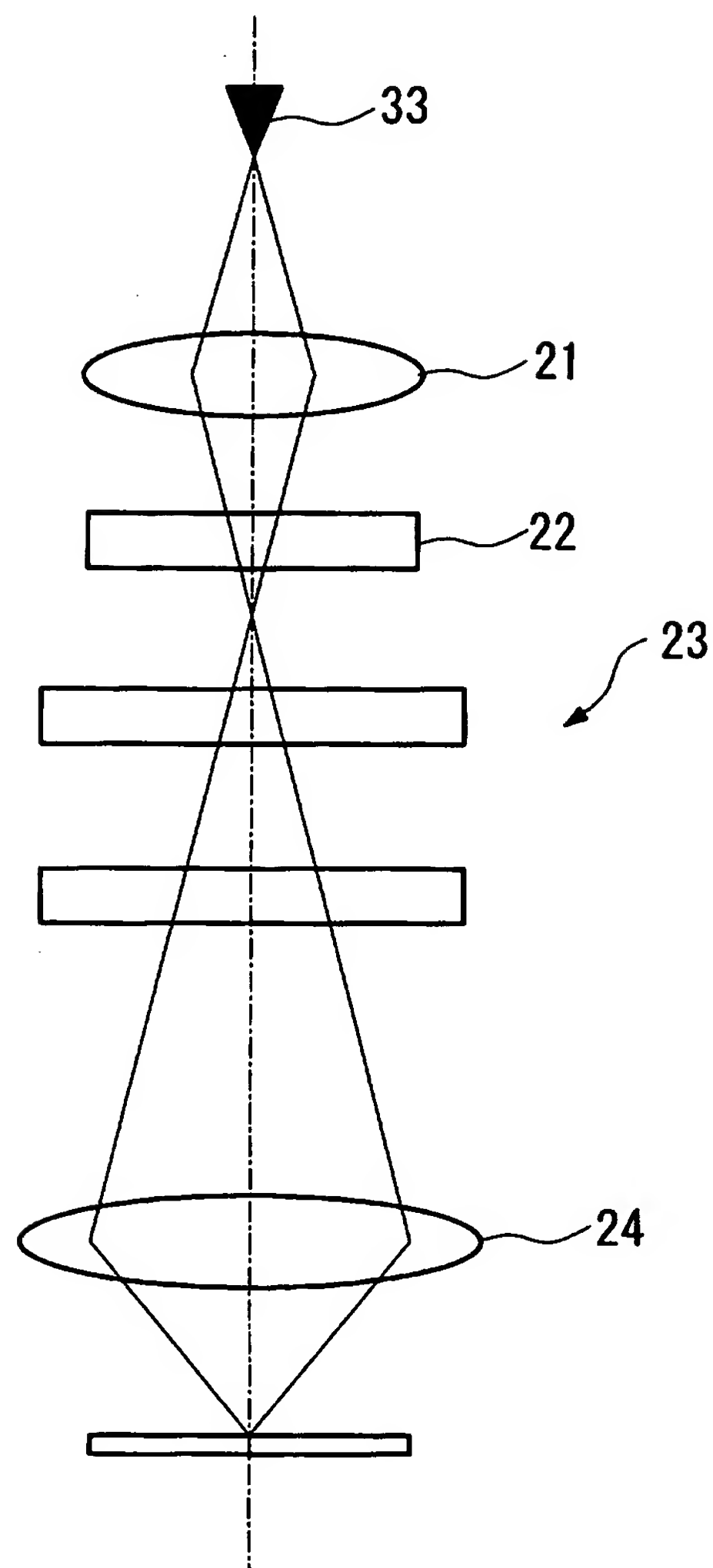


Fig.3

10/516827

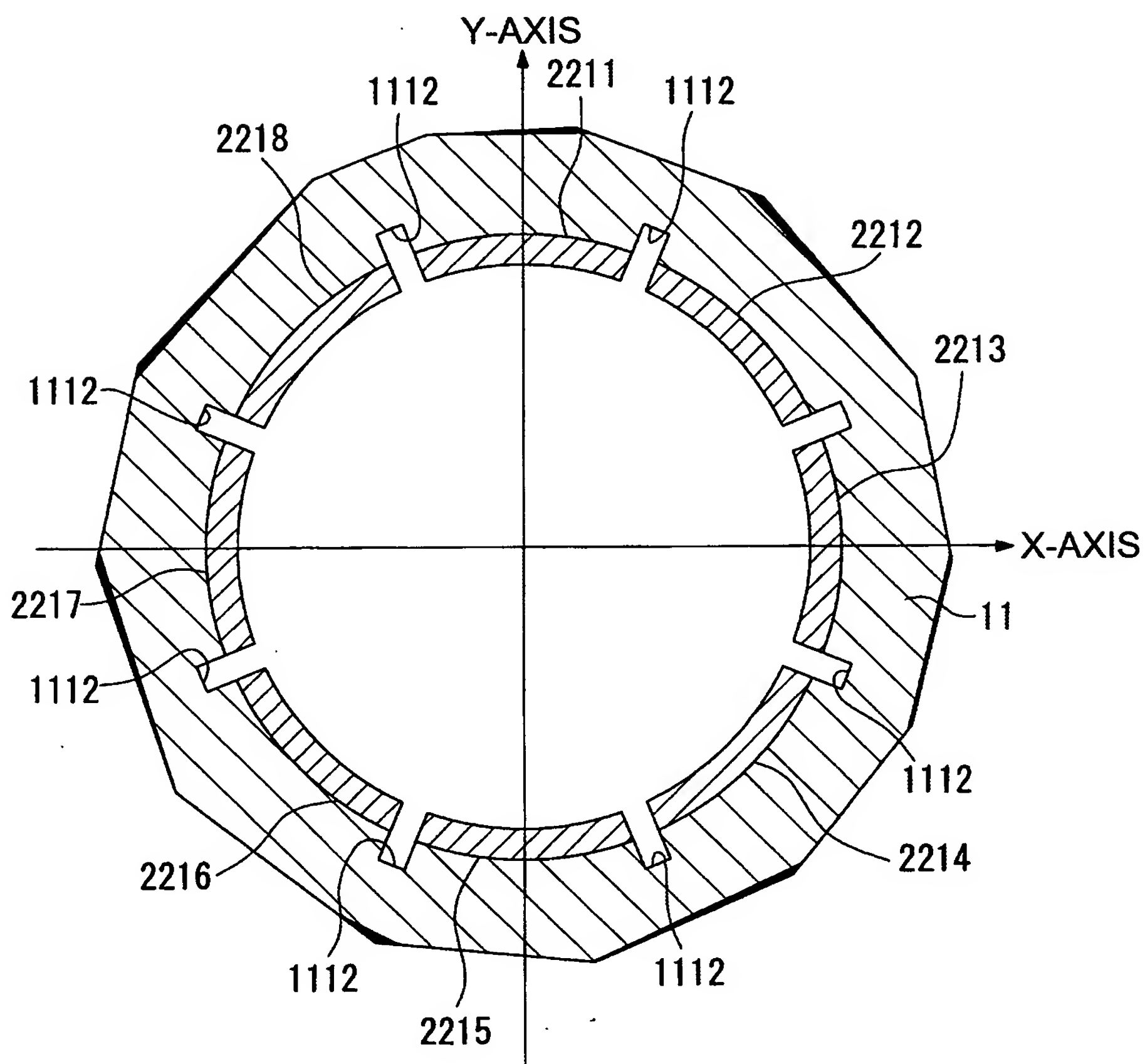


Fig.4

10/516827

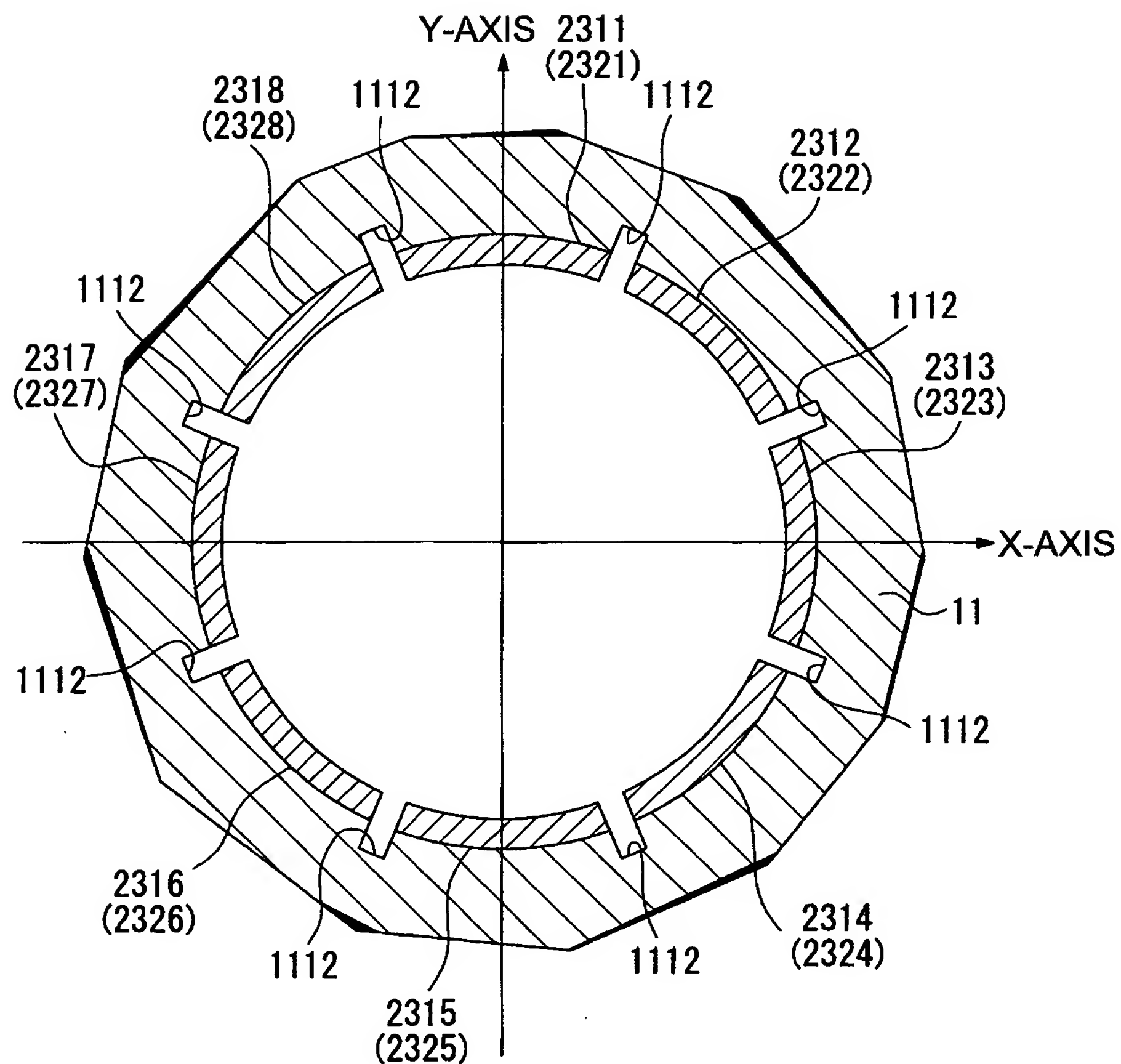


Fig.5

10/516827

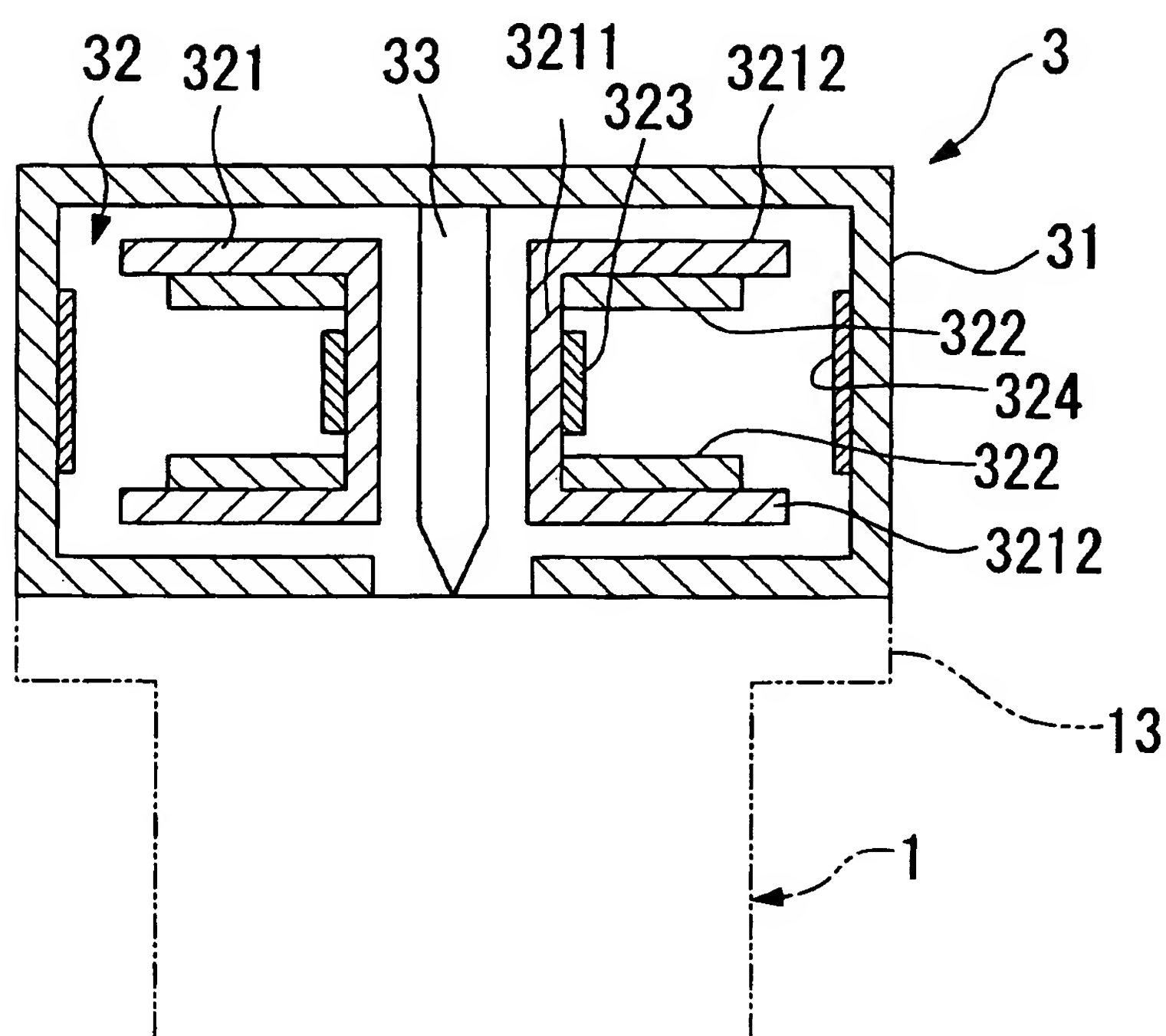


Fig.6

10/516327

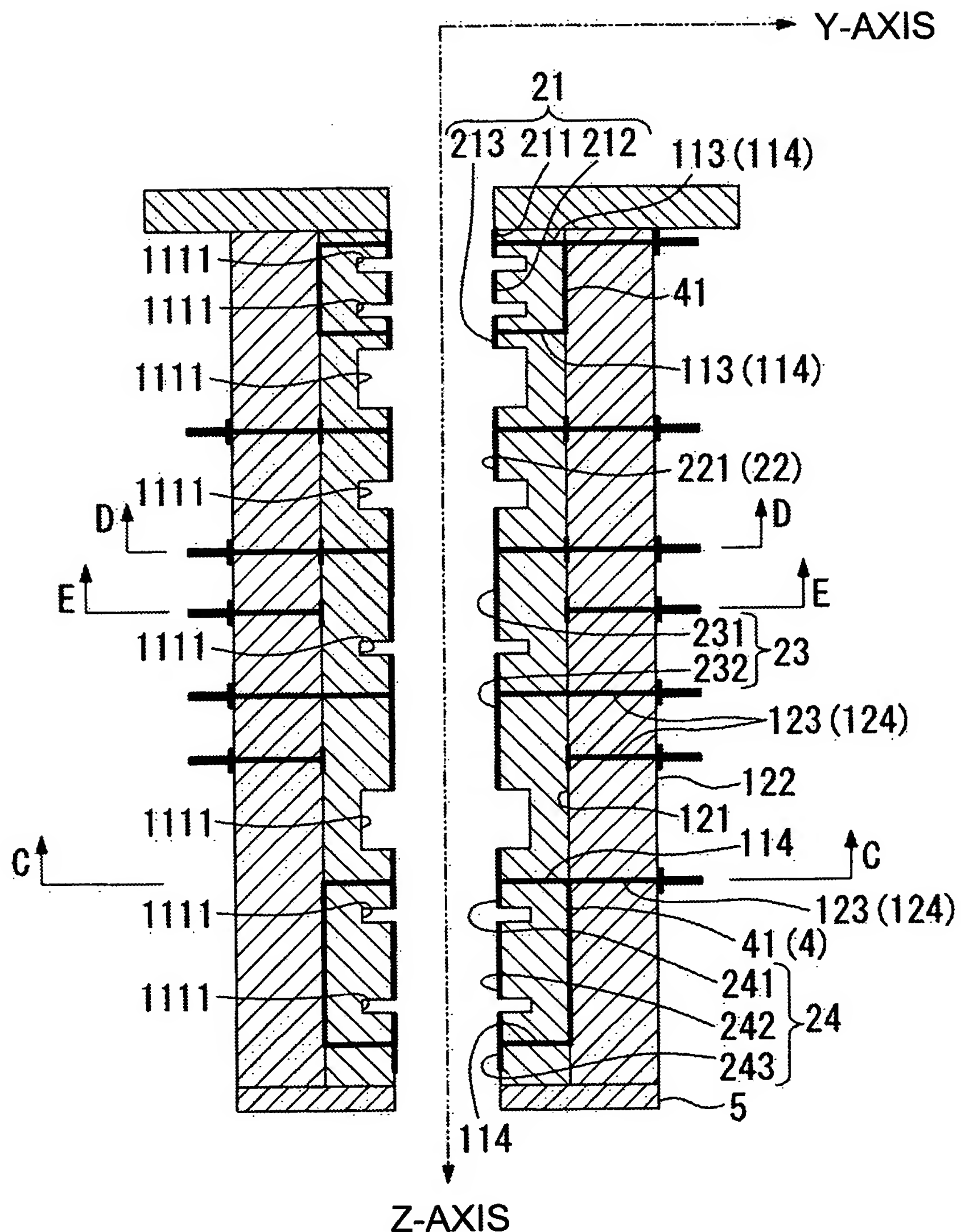


Fig.7

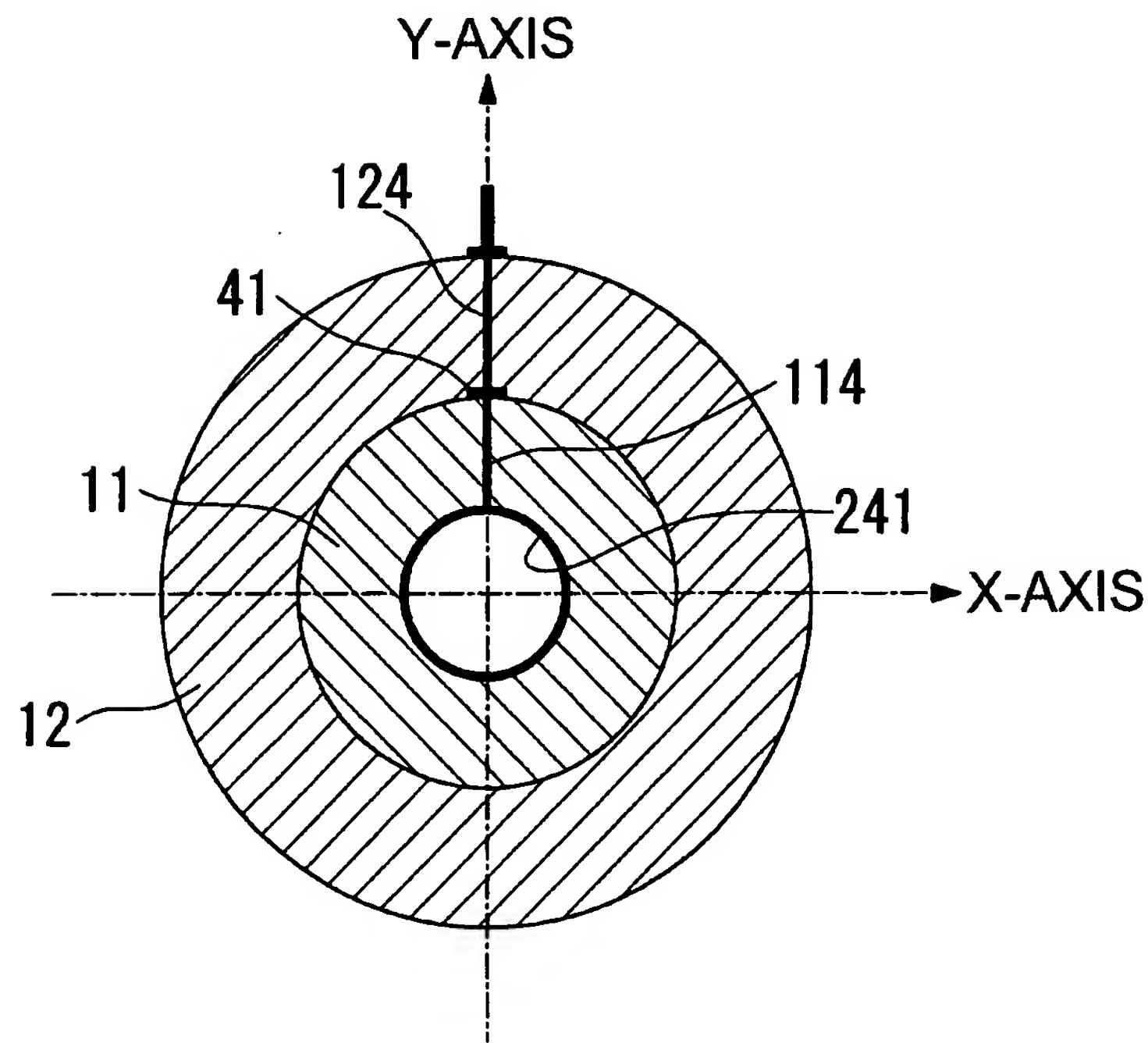


Fig.8

10/316827

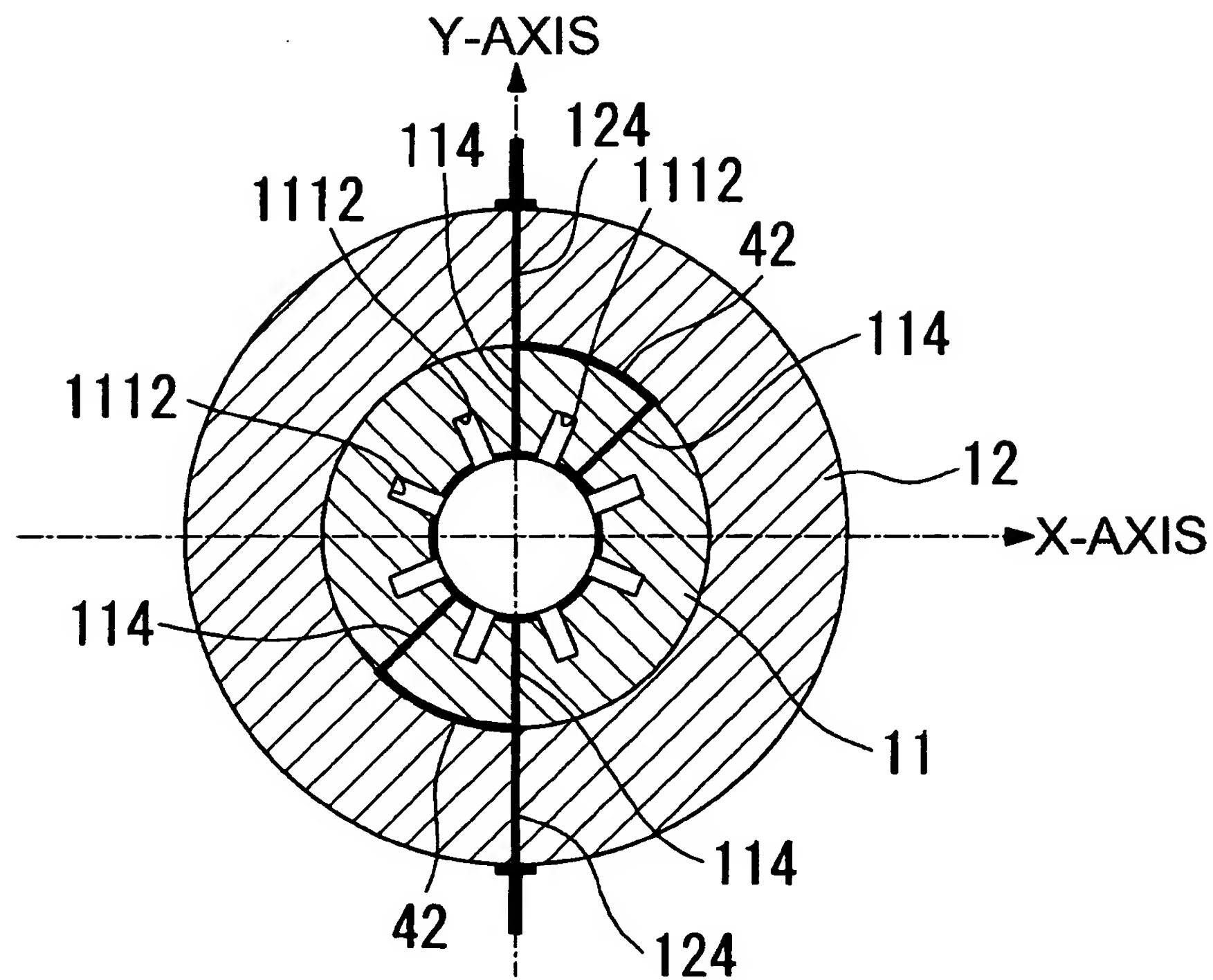


Fig.9

10/516827

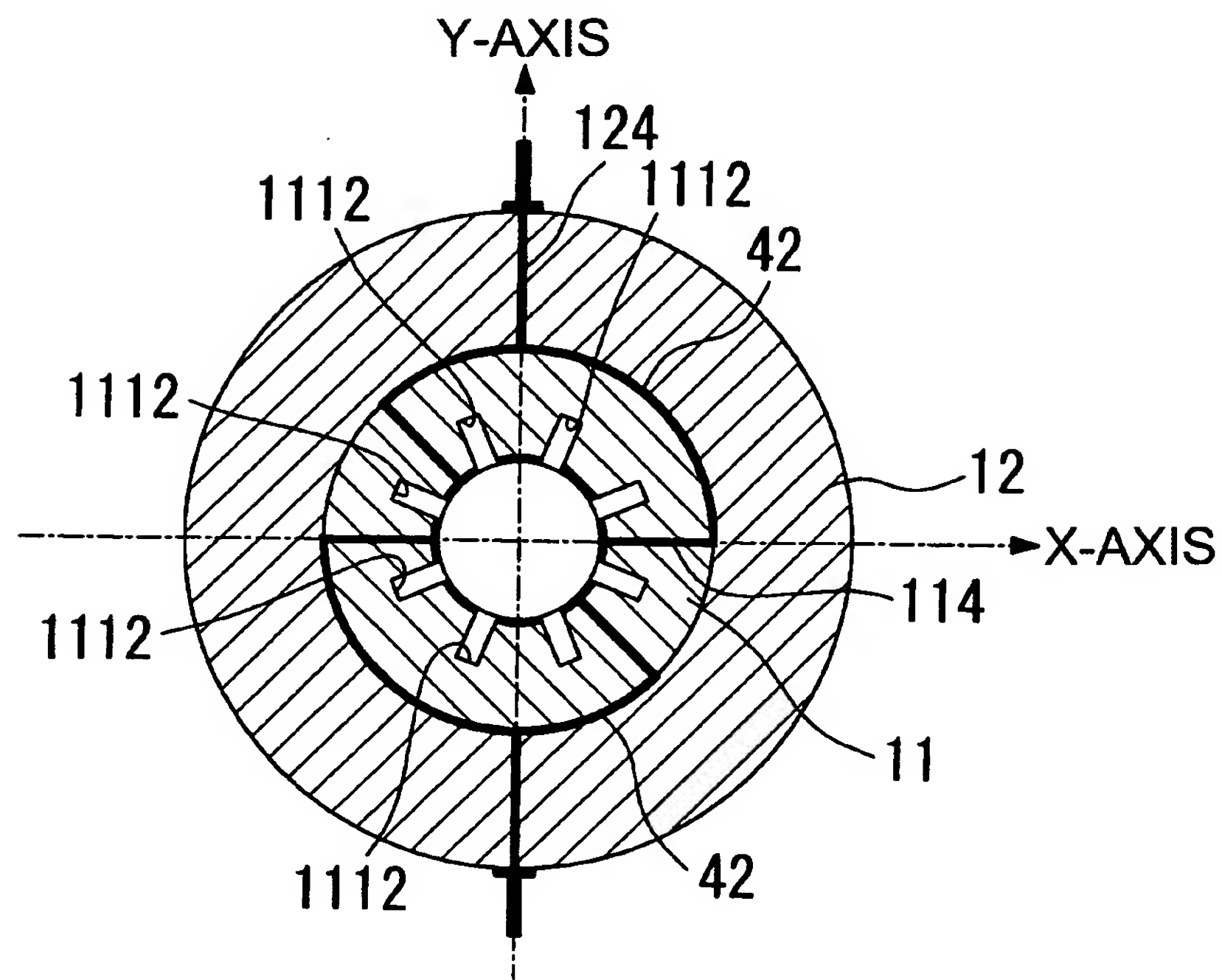


Fig.10

10/516827

Katsuya Okumura et al.
43521-2600
Sheet 11 of 14
J.W. Price/ 949-253-4920

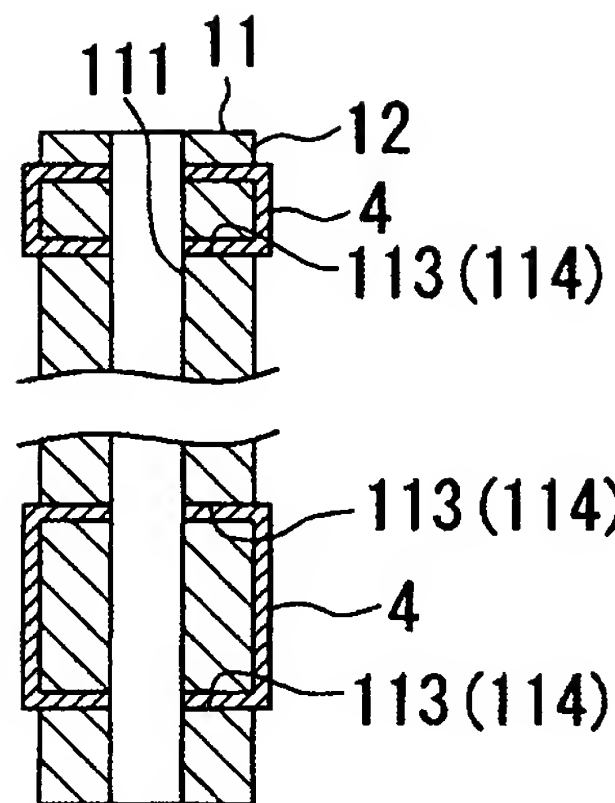


Fig.11A

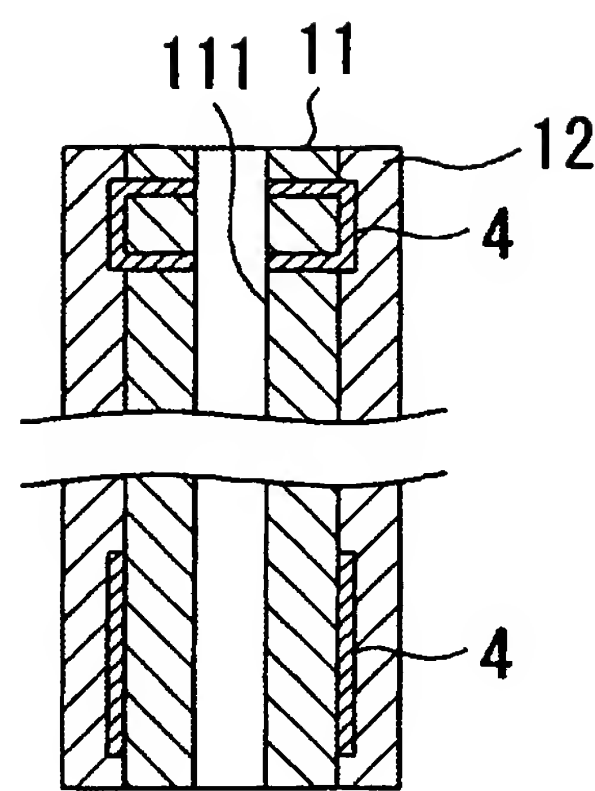


Fig.11B

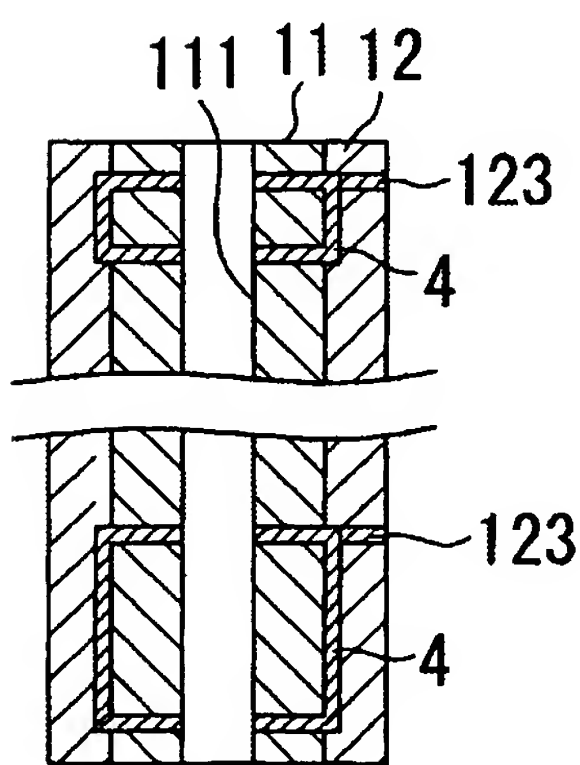


Fig.11C

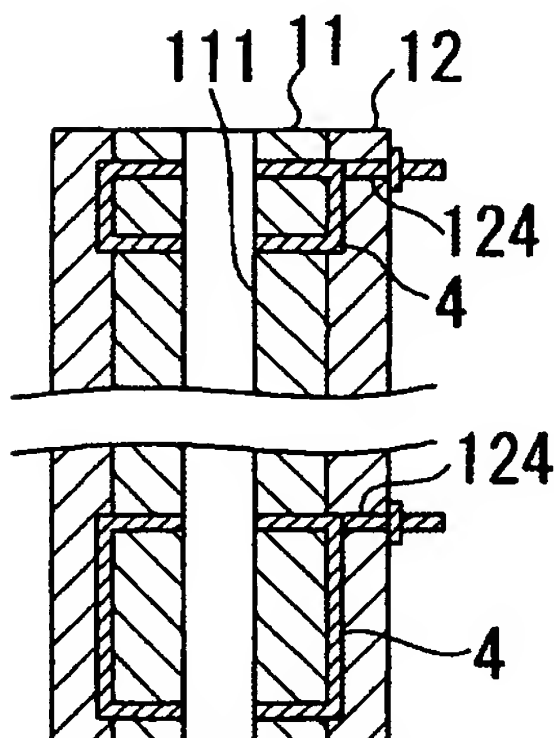


Fig.11D

10/516827

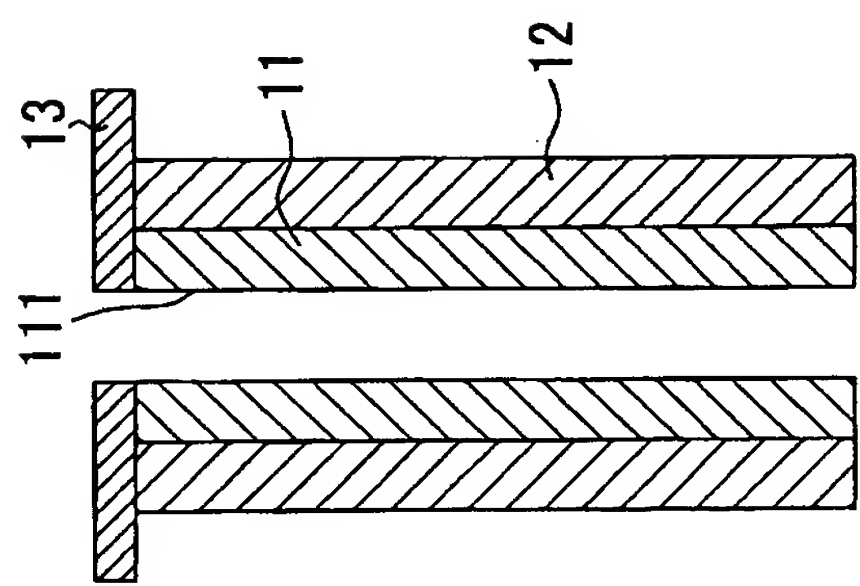


Fig. 12A

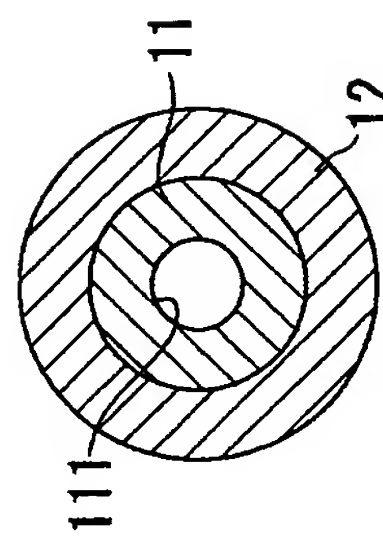


Fig. 12B

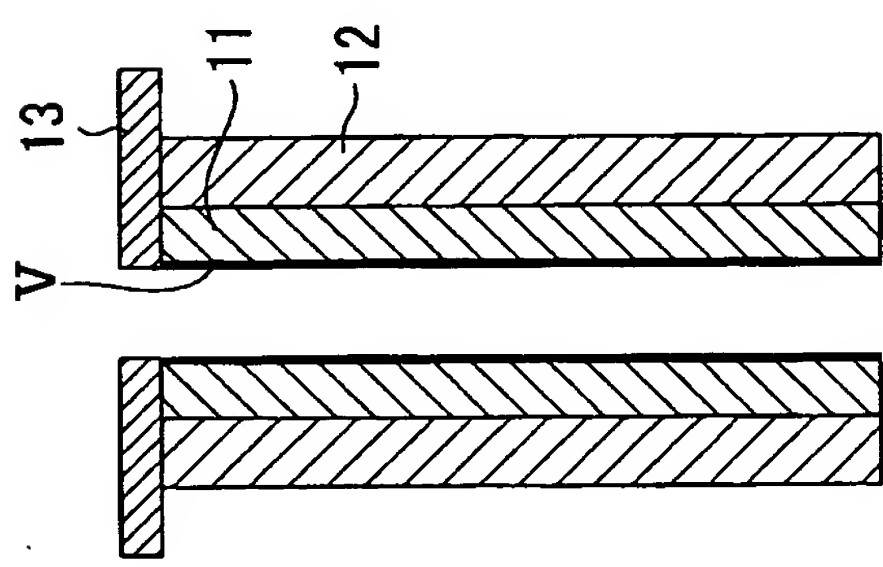


Fig. 12C

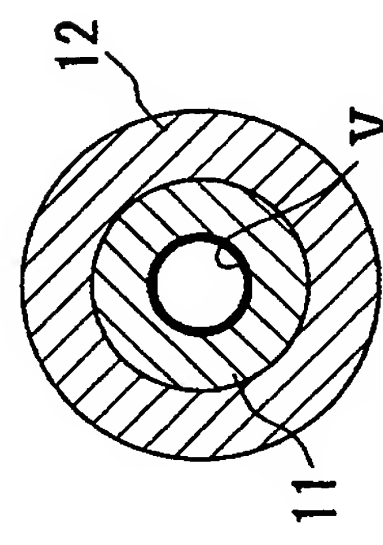


Fig. 12D

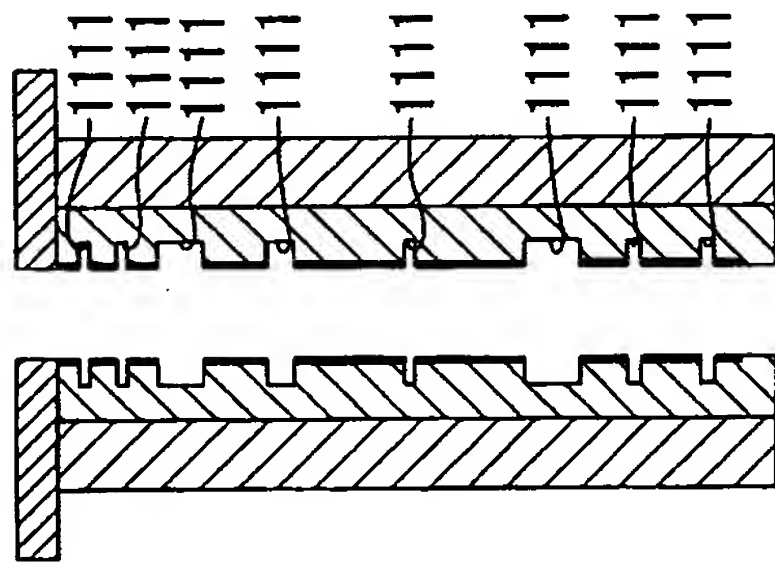


Fig. 12E

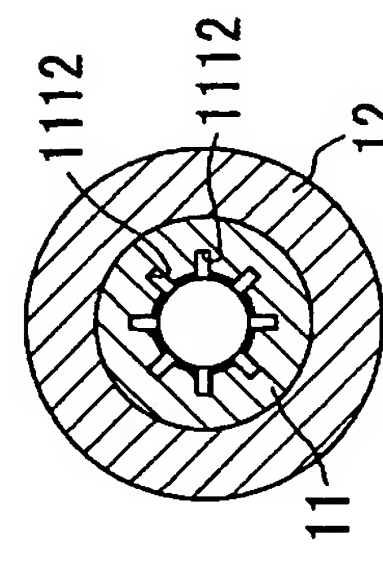


Fig. 12F

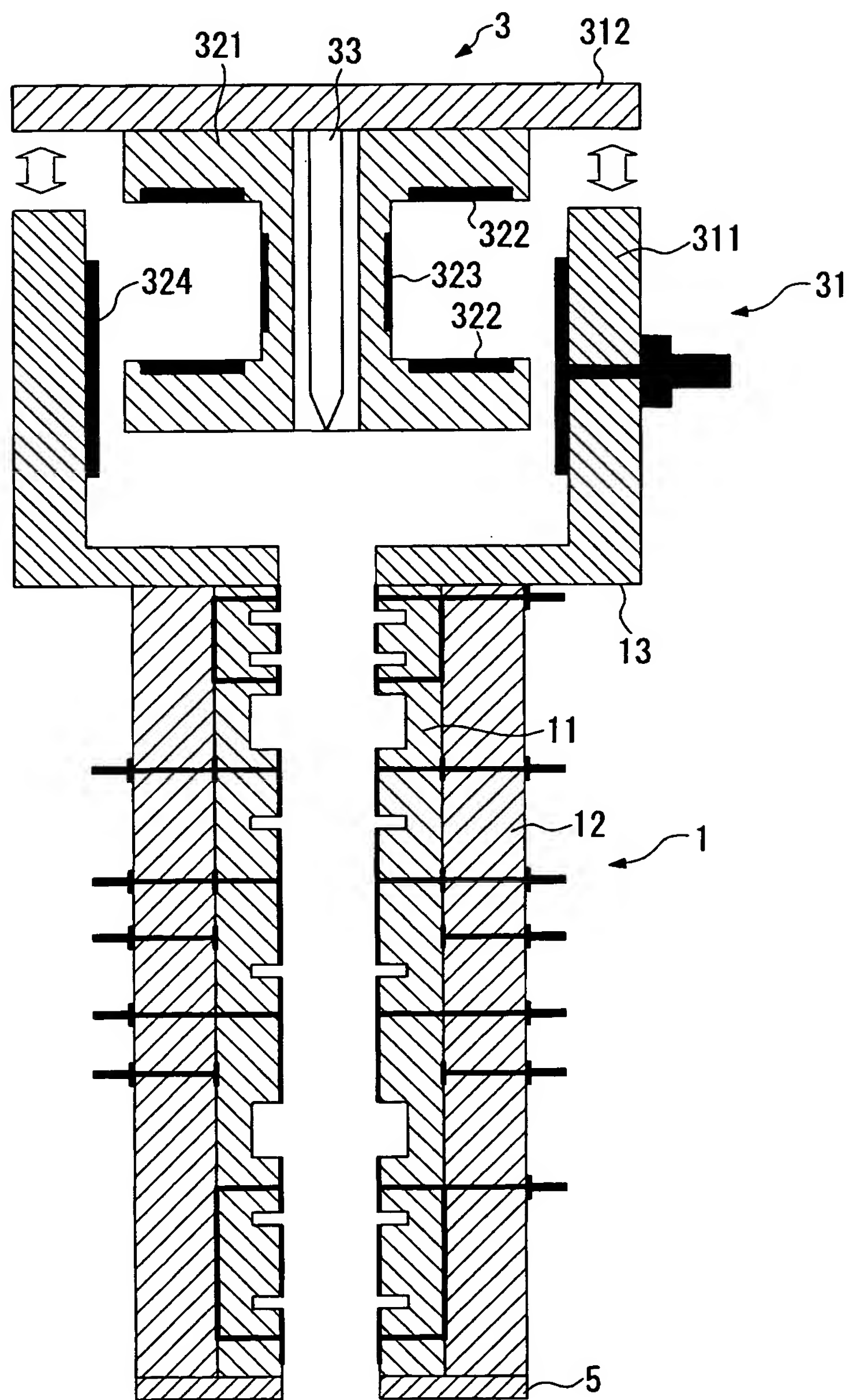


Fig.13

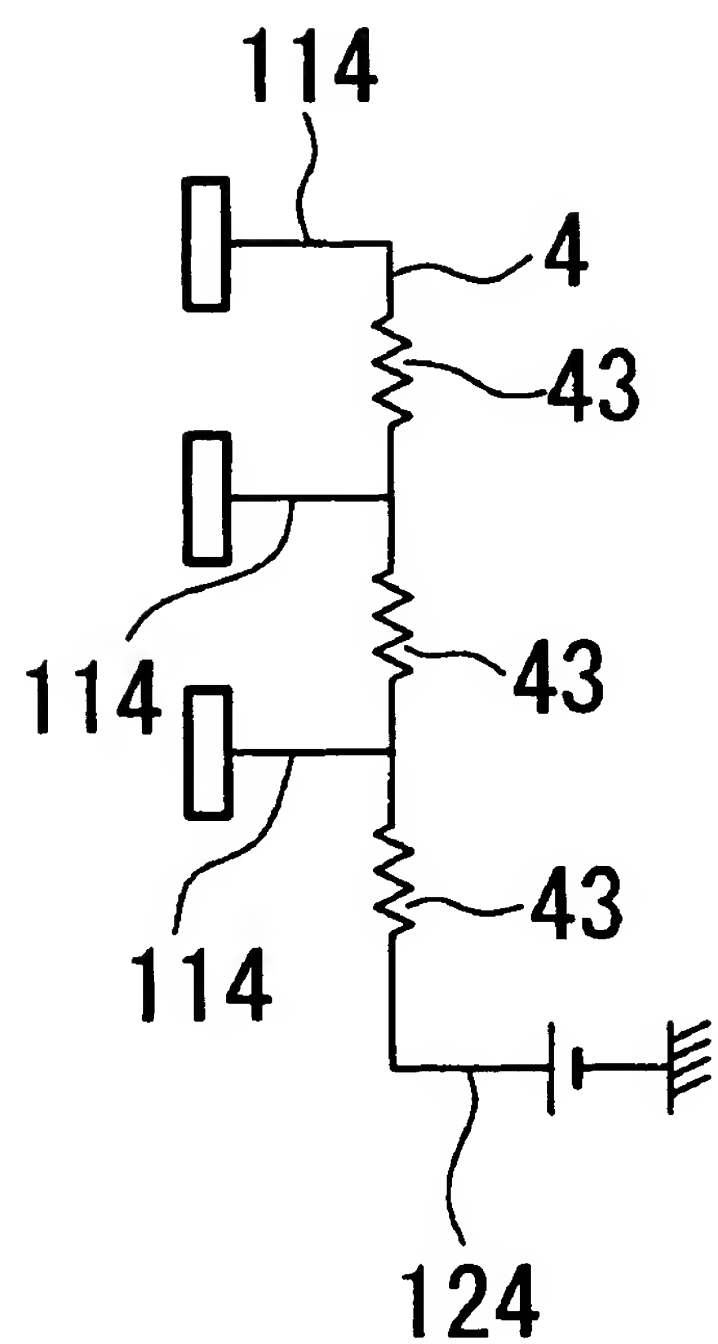


Fig.14